

# 4ο ΚΕΦΑΛΑΙΟ

Μορφές Θορύβου (Liao 63, 115, Vandelin 63, 71-72)  
Pozar 63, 584

1. Θερμικός Θόρυβος: ή θόρυβος Johnson, ή Nyquist

Τυχαίες διακυμάνσεις της ροής ηλεκτρονίων σε ένα αγώγιμο λόγω θερμικών ταλαντώσεων των δεσμευμένων φορτίων

2. Κρουστικός Θόρυβος ή θόρυβος Schottky (Shot Noise)

- Διακυμάνσεις στο πλήθος των φορέων σε ένα ρεύμα.
- Εμφανίζεται σε όλα τα ενεργά στοιχεία λόγω της διακριτής φύσης της ροής των ηλεκτρονίων.

3. Θόρυβος Αναλαμπών (Flicker Noise)

- Εμφανίζεται στα στοιχεία στερεάς κατάστασης και στις λυχνίες και η ισχύς των είναι αντίστροφα ανάλογη της συχνότητας  $N \propto 1/f \rightarrow$  ονομάζεται θόρυβος  $1/f$ .

4. Θόρυβος Πλάσματος

5. Κβαντικός Θόρυβος

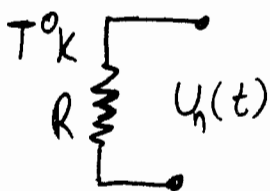
Πηγές Θορύβου: χρειάζονται συνήδως στις μετρήσεις θορύβου.

α. Παθητικές: αποτελούνται από μια ωμική αντίσταση τοποθετημένη σε διάταξη σταθερής-ελεγχόμενης θερμοκρασίας.

β. Ενεργές: υλοποιούνται σε μορφή λυχνιών εκφόρτισης αερίων ή διόδου - χιονοστιβάδας (avalanche diodes)

Ισχύς - Τάση - Αντίσταση Θορύβου:

• Αντίσταση σε θερμοκρασία  $T^{\circ}K$



Η κινητική ενέργεια των ηλεκτρονίων είναι  $\propto T^{\circ}K \Rightarrow$  τυχαίες διακυμάνσεις τάσης στα άκρα της αντίστασης  $U_n(t)$

Κβαντομηχανική  $\rightarrow$  Ακτινοβολία μέλανος σώματος (Νόμος Planck):

$\rightarrow$  Μέση τιμή της  $U(t)$ :  $U_{av} = \langle U \rangle = 0 =$  μηδενική d.c. συνιστώσα.

$\rightarrow$  Τυπική απόκλιση  $\sigma =$  rms τάση

$$U_{n,rms} = \sqrt{\frac{4 h F B R}{e^{h F / k T} - 1}}$$

Τάση θορύβου; αντίστατη R σε θερμοκρασία  $T^{\circ}K$

$$U_n = U_{n,rms} = \sqrt{\frac{4 h f B R}{e^{\frac{h f}{k T}} - 1}}$$

Νόμος Planck, ακτινοβολία μέλανος σώματος

$h = 6.546 \times 10^{-34}$  Joule·sec      Σταθερά του Planck  
 $k = 1.38 \times 10^{-23}$  J/ $^{\circ}K$       Σταθερά του Boltzmann  
 $B =$  εύρος ζώνης       $f =$  κεντρική συχνότητα  
 $k T_0 \Big|_{T_0 = 300^{\circ}K (17^{\circ}C)} = 4 \times 10^{-21}$  W/Hz      ! Joule = 1W·1sec

Μικροκυματικές Συχνότητες:  $h f \ll k T$

Χειρότερη περίπτωση:  $f = f_{max} = 100 GHz$  }  $h f = 6.5 \times 10^{-23} \ll k T = 1.4 \times 10^{-21}$   
 $T_{min} \approx 100^{\circ}K$  }

Αλλά:

$$e^x \Big|_{x \ll 1} \approx 1 + x \Rightarrow e^{\frac{h f}{k T}} - 1 \approx 1 + \frac{h f}{k T} - 1 = \frac{h f}{k T}$$

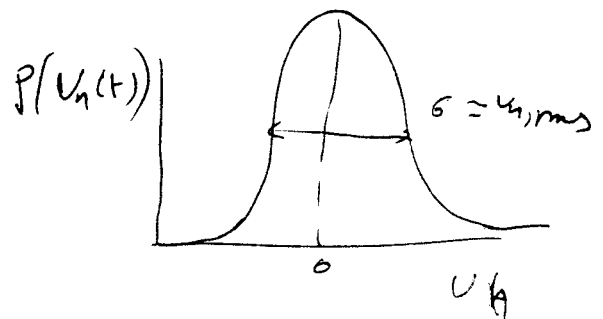
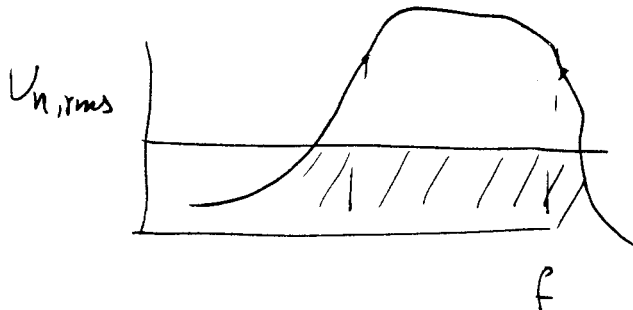
Άρα:

$$U_n \approx \sqrt{\frac{4 h f B R}{\frac{h f}{k T}}} = \sqrt{4 k T B R} \approx U_n$$

Προβέγγη Rayleigh - Jeans

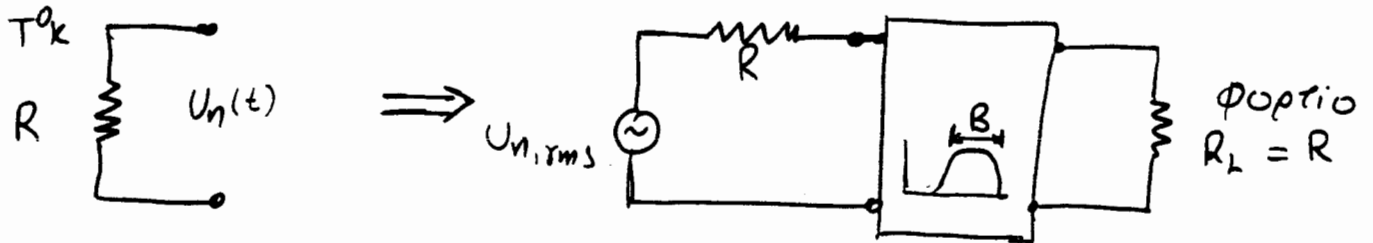
Προσοχή:

- Η τάση  $U_n$  είναι ανεξάρτητη της συχνότητας  $f$  και ανάλογη του εύρους ζώνης  $B$
- Μια τέτοια πηγή θορύβου παρουσιάζει φασματική πυκνότητα ισχύος σταθερή ως προς τη συχνότητα → λευκός θόρυβος
- Πηγές λευκού θορύβου → Gaussian τυχαίες μεταβλητές και η ισχύς θορύβου είναι προσθετική.



Ισοδύναμο Thevenin Πηγής Θορύβου:

- Μια πραγματική αντίσταση θορύβου  $R$  που παράγει θόρυβο, μπορεί να αντικατασταθεί από μια ιδανική αντίσταση ίδιας τιμής και μια πηγή τάσης  $U_n$ .
- Μπορεί να προστεθεί και ένα ιδανικό φυσικό αερατό φίλτρο που δίνει τον αεριορισμό του εύρους ζώνης:



Μέγιστη Διαθέσιμη Ισχύς

• Γεννήτριας:  $P_{av} = \frac{1}{2} \frac{|V_g|^2}{4R_g} = \frac{|V_{g,rms}|^2}{4R_g}$  αν  $Z_L = Z_g^*$

• Πηγής Θορύβου:  $P_n = \frac{|\bar{U}_n|^2}{4R}$  αν  $R_L = R$

Ισχύς Θορύβου

$$P_n = \frac{|U_n|^2}{4R} = \frac{4kTB R}{4R} = kTB$$

Μέγιστη Διαθέσιμη Ισχύς θορύβου → αν  $R_L = R$

Ισοδύναμη Πηγή Θορύβου - Ισοδύναμη Θερμοκρασία θορύβου:

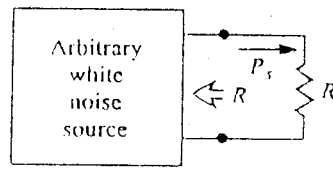
Οποιαδήποτε πηγή λευκού θορύβου (θερμική ή σκί) μπορεί να μοντελοποιηθεί με μια θερμική πηγή (αντίσταση θορύβου) ίδιας ισχύος θορύβου σε μια ισοδύναμη θερμοκρασία θορύβου  $T_e$ :

$$P_n = kT_e B \implies T_e = \frac{P_{ne}}{kB} = \frac{P_s}{kB} \quad P_{ne} = P_s$$

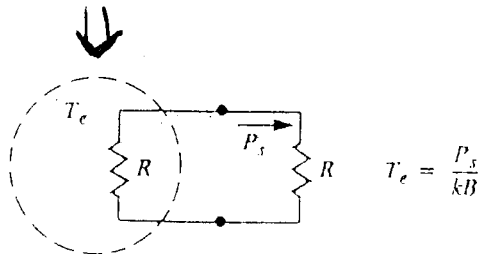
Ο θόρυβος που παράγουν στοιχεία όπως ενισχυτές, μικτές, κ.λ.π. ή και ολοκληρωμένα συστήματα, δέκτες για παράδειγμα, μπορεί να ληφθεί υπόψη με μια ισοδύναμη θερμοκρασία θορύβου.

Μοντελοποίηση Πηγής λευκού θορύβου με ισοδύναμη θερμική πηγή θορύβου:

Πηγή λευκού θορύβου



Ισοδύναμη θερμοκρασία θορύβου:

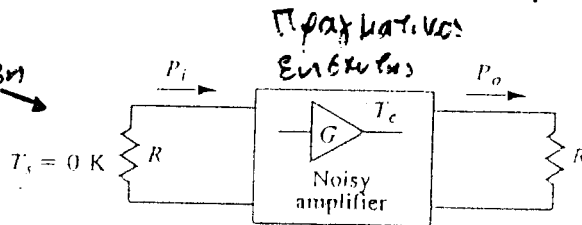


$$T_e = \frac{P_s}{k B}$$

The equivalent noise temperature,  $T_e$ , of an arbitrary white noise source.

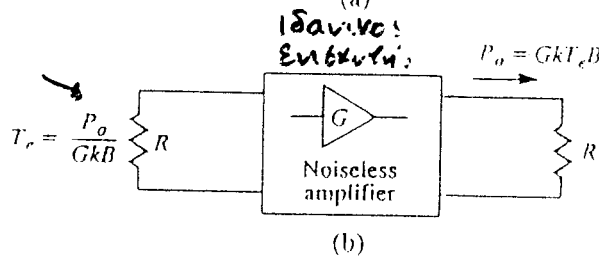
Μοντελοποίηση θορύβου ενισχυτή με ισοδύναμη θερμική πηγή

Υποθετική αόρατη αντίσταση ( $T_s = 0^\circ K$ )



$P_o = 16 \chi \delta s$  που οφείλεται στο θόρυβο που παράγει ο ίδιος ο ενισχυτής

Ισοδύναμη θερμική πηγή θορύβου



$$P_o = k T_e B \cdot G$$

$$T_e = \frac{P_o}{k B \cdot G}$$

Defining the equivalent noise temperature of a noisy amplifier. (a) Noisy amplifier. (b) Noiseless amplifier.

Ισοδύναμη θερμοκρασία θορύβου ενός ενισχυτή

Ενεργός πηγή θορύβου:

→ Μπορεί να χαρακτηριστεί από μια ισοδύναμη θερμοκρασία θορύβου  $T_N$ . Ποιο χρήσιμο όμως μέγεθος είναι η

περίσσεια ισχύος θορύβου; Excess noise ratio: ENR: 20-40 dB

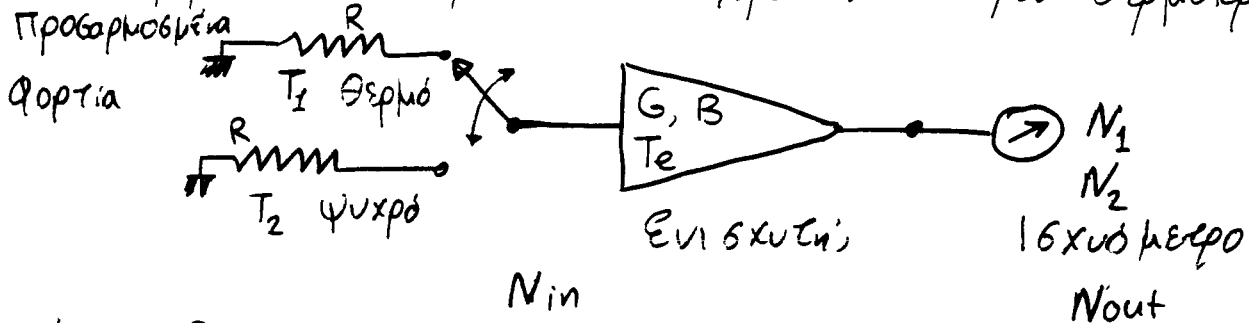
περίσσεια ισχύος θορύβου; Excess noise ratio: ENR: 20-40 dB

$$ENR (dB) = 10 \log \left\{ \frac{P_N - P_o}{P_o} \right\} = 10 \log \left\{ \frac{T_N - T_o}{T_o} \right\}$$

$P_N, T_N$  = ισχύς θορύβου και ισοδύναμη θερμοκρασία πηγής  
 $P_o, T_o$  = " " " " " " αντίστοιχα σε  $T_o$   
 $P_N = k T_N B$        $P_o = k T_o B$       ,  $T_o = 300^\circ K$

# Μέτρηση της Ισοδύναμης Θερμοκρασίας Θορύβου με την μέθοδο των Συντελεστών - $\gamma$

Η μέθοδος αυτή μπορεί να εφαρμοστεί αν υπάρχουν διαθέσιμα δύο φορτία σε σημαντικά διαφορετικές σταθερές θερμοκρασίες:



Ισχύς θορύβου στην είσοδο του ενισχυτή  $N_{in} = k T_c B$

Ισχύς θορύβου που παράγει ο ίδιος ο ενισχυτής, ή πρόσθετος θόρυβος:  $\Delta N = k T_e B G$

Ισχύς θορύβου στην έξοδο του ενισχυτή:  $N_{out} = N_{in} \cdot G + \Delta N$

Θερμό φορτίο  $N_1 = N_{out} = k T_1 B G + k T_e B G$

Ψυχρό φορτίο  $N_2 = N_{out} = k T_2 B G + k T_e B G$

Συντελεστής -  $\gamma$ :

$$\gamma = \frac{N_1}{N_2} = \frac{T_1 + T_e}{T_2 + T_e} > 1$$

Μέτρηση

$$\gamma (dB) = N_1 (dBm) - N_2 (dBm)$$

Ισοδύναμη θερμοκρασία θορύβου:

$$T_e = \frac{T_1 - T_2 \gamma}{\gamma - 1}$$

Η τιμή της αντίστασης φορτίου  $R$  επιλέγεται έτσι ώστε να υπάρχει προσαρμογή στην είσοδο. Συνήθως  $R = 50 \Omega$ , εάν έχουμε σύστημα χαρακτηριστικής  $50 \Omega$ .

Επιλογή θερμοκρασιών - φορτίων:

Η διαφορά των θερμοκρασιών  $T_1, T_2$  πρέπει να είναι όσο το δυνατό μεγαλύτερη. Η μία θερμοκρασία είναι η  $T_0 = 300^\circ K$  τυπική θερμοκρασία  $17^\circ C$

Εάν  $T_e > T_0$  βαν θερμό φορτίο χρησιμοποιείται Πηγή θορύβου  
 Για  $T_e < T_0$  βαν ψυχρό φορτίο  $\rightarrow$  τοποθετούμε  $R$   $\leftarrow$  Υπό αέρα  $T = 77^\circ K$   
 $\leftarrow$  Υπό  $H_2O$   $T = 4^\circ K$

Δείκτης θορύβου:  $F_n$

$$F_n = \frac{\text{θόρυβος στην έξοδο πραγματικού ενισχυτή}}{\text{θόρυβος στην έξοδο ιδανικού ενισχυτή}} = \frac{N_{out}}{N_{in} \cdot G}$$

Κέρδος  $G = S_{out} / S_{in} = \text{Ισχύς Έξοδος} / \text{Ισχύς Είσοδος}$

$$\text{Άρα: } F_n = \frac{N_{out}}{N_{in} \cdot (S_{out} / S_{in})} = \frac{S_{in} / N_{in}}{S_{out} / N_{out}} = \frac{(S/N)_{in}}{(S/N)_{out}}$$

$$F_n \text{ (dB)} = (S/N)_{in} \text{ (dB)} - (S/N)_{out} \text{ (dB)}$$

Δηλαδή, ο δείκτης θορύβου παριστάει τη μείωση του λόγου σήματος-προς-θόρυβο από την είσοδο στην έξοδο του ενισχυτή.

Συσχετίση με την θερμοκρασία θορύβου:

$$F_n = \frac{N_{out}}{N_{in} \cdot G} = \frac{N_{in} \cdot G + \Delta N}{N_{in} \cdot G} = \frac{\Delta N}{N_{in} \cdot G} + 1 = 1 + \frac{K T_e B G}{K T_0 B G} = 1 + \frac{T_e}{T_0}$$

και  $N_{in} = K T_0 B$  όπου  $T_0 = 300^\circ \text{K} = \text{τυπική θερμοκρασία}$

$$\text{Άρα: } \boxed{F_n = 1 + \frac{T_e}{T_0}} \quad \text{ή} \quad \boxed{T_e = (F_n - 1) T_0}$$

Δείκτης θορύβου Παθητικών στοιχείων, με απώλειες  $L$

→ Προσοχή! Ένας εφασθεντής μειώνει μόνο την ισχύ του σήματος αλλά όχι τον θόρυβο, αφού ο ίδιος βρίσκεται σε θερμοκρασία  $T_0$  και παράγει θόρυβο.

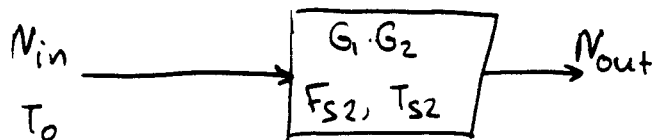
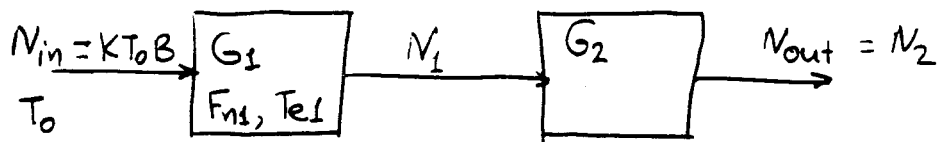
→ Αν ο εφασθεντής βρίσκεται σε θερμοκρασία  $T > T_0$  τότε παράγει πρόσθετο θόρυβο.

Αν  $T = T_0$  τότε  $N_{out} = N_{in} = K T_0 B$

Απώλειες εφασθεντή (π.κ. γραμμής):  $L = S_{in} / S_{out} > 1$

$$F_n = \frac{N_{out} / N_{in}}{S_{out} / S_{in}} = \frac{1}{1/L} = L$$

Δείκτες Θορύβου Πολλαπλών Εν-βείραι βαθμίδων



Ισχύς θορύβου στην έξοδο της 1ης βαθμίδας

$$N_1 = N_{in} \cdot G_1 + \Delta N_1 = K T_0 B \cdot G_1 + K T_{e1} B \cdot G_1$$

Ισχύς θορύβου στην έξοδο της 2ης βαθμίδας

$$N_{out} = N_2 = N_1 \cdot G_2 + \Delta N_2 = K (T_0 + T_{e1}) B G_1 \cdot G_2 + K T_{e2} B \cdot G_2$$

άρα:  $N_{out} = K B G_1 G_2 (T_0 + T_{e1} + \frac{1}{G_1} T_{e2})$  ①

Ισχύς θορύβου στην έξοδο του ισοδύναμου συστήματος:

$$N_{out} = N_{in} \cdot G_1 G_2 + \Delta N = K T_0 B \cdot G_1 G_2 + K T_{s2} B \cdot G_1 G_2$$
 ②

Επιβάλλοντας τις ① και ②:

$$K B G_1 G_2 (T_{e1} + \frac{1}{G_1} T_{e2}) = K B G_1 G_2 \cdot T_{s2} \quad \left. \vphantom{K B G_1 G_2} \right\} T_{s2} = T_{e1} + \frac{T_{e2}}{G_1}$$

Ισοδύναμη θερμοκρασία θορύβου N βαθμίδων:

$$T_s = T_{e1} + \frac{T_{e2}}{G_1} + \frac{T_{e3}}{G_1 G_2} + \dots + \frac{T_{eN}}{G_1 G_2 \dots G_{N-1}}$$

Δείκτες θορύβου δύο βαθμίδων:

$$\left. \begin{aligned} F_{s2} &= 1 + \frac{T_{s2}}{T_0} \\ T_{e1} &= (F_{n1} - 1) T_0 \end{aligned} \right\} \begin{aligned} F_{s2} &= 1 + \frac{(F_{n1} - 1) T_0}{T_0} + \frac{(F_{n2} - 1) T_0}{G_1 \cdot T_0} \\ F_{s2} &= F_{n1} + \frac{F_{n2} - 1}{G_1} \end{aligned}$$

Δείκτες θορύβου N-βαθμίδων:

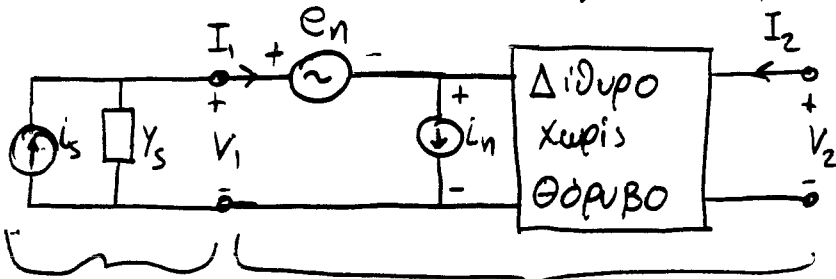
$$F_s = F_{n1} + \frac{F_{n2} - 1}{G_1} + \frac{F_{n3} - 1}{G_1 G_2} + \dots + \frac{F_{nN} - 1}{G_1 G_2 \dots G_{N-1}}$$

Η κυριώτερη συνεισφορά προέρχεται από την πρώτη βαθμίδα  $\Rightarrow$

$\Rightarrow$  1η βαθμίδα: Σχεδιασμός ελάχιστου θορύβου + Ικανοποιητικά κέρδη

Αναπαράσταση Θορύβου Διδύρου Δικτύου: (Bhargava σελ. 491, (Verdolin σελ. 77))

Γενικά, οποιοδήποτε πραγματικό διθύρο (παράγει το ίδιο θόρυβο) μπορεί να παραβταθεί με ένα ιδανικό διθύρο και δύο πηγές θορύβου στην είσοδο του:



$I_s =$  θορύβος πηγής εισόδου  
 $Y_s =$  συνδ. Αγωγ. πηγής εισόδου

Θερμικός θόρυβος εισόδου

↓ Πραγματικό (θορυβώδες) διθύρο

$e_n$  αντιπροσωπεύει το θόρυβο του διθύρου όταν η συνδέση αντίστασης  $Y_n$  στην πηγή που συνδέεται στην είσοδο είναι μηδέν (βραχυκυκλωμένη)

$I_n$  αντιπροσωπεύει το θόρυβο του διθύρου όταν η συνδέση αγωγικής  $Y_n$  στην πηγή είναι μηδέν  $\leftrightarrow$  όταν η είσοδος είναι ανοικτοκυκλωμένη.

Οι πηγές  $e_n, I_n$  δεν είναι τελείως ανεξάρτητες έτσι:

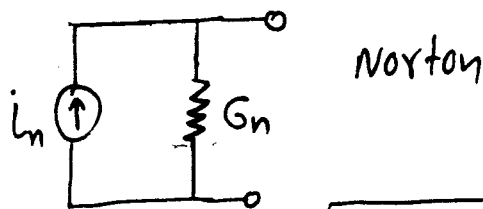
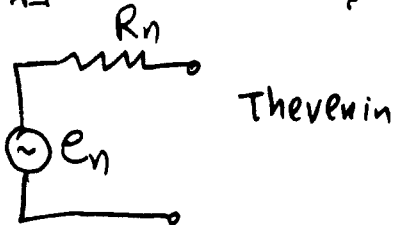
$$I_n = i_c + i_u \quad \begin{cases} i_u = \text{συνιστώσα ανεξάρτητη από } e_n \\ i_c = \text{συσχετισμένη με την } e_n \end{cases}$$

$$i_c = Y_{cor} \cdot e_n \quad Y_{cor} = \text{συνδέση αγωγική συσχετίσιμη (μαθηματική προσέγγιση)}$$

$$I_n = Y_{cor} e_n + i_u \quad \text{μέση τιμή} \quad \left. \begin{matrix} \\ \end{matrix} \right\} \overline{e_n^* I_n} = Y_{cor} \overline{e_n e_n^*} + \overline{i_u e_n^*} = Y_{cor} \overline{e_n^2}$$

άρα:  $Y_{cor} = \frac{\overline{e_n^* I_n}}{\overline{e_n^2}}$  επειδή είναι ασυσχετίσιμα.

Άλλα: Ισοδύναμο πηγές θορύβου



$$e_{n,rms} = \sqrt{4KTR_n B}$$

$$I_{n,rms} = \sqrt{4KTG_n B}$$

Ορίζονται έτσι οι αντίστασεις και αγωγικές θορύβου.

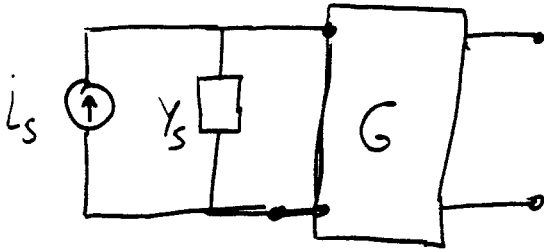
$$R_n = \frac{|e_{n,rms}|^2}{4KT B}, \quad G_c = \frac{|I_{c,rms}|^2}{4KT B}, \quad G_u = \frac{|I_{u,rms}|^2}{4KT B}, \quad G_s = \text{Re}(Y_s) = \frac{|I_{s,rms}|^2}{4KT B}$$



ΣΥΓΧΕΤΙΣΜΟΣ ΔΕΙΚΤΗ ΘΟΡΥΒΟΥ ΚΑΙ ΕΓΩΤΕΡΙΚΩΝ ΠΗΓΩΝ ΘΟΡΥΒΟΥ

$$F_n = 1 + \frac{\Delta N}{N_{in} \cdot G} = 1 + \frac{16 \text{ ΚΩΣ ΕΓΩΤΕΡΙΚΩΣ ΘΟΡΥΒΟΥ} \cdot G}{\text{ΘΟΡΥΒΟΣ ΓΕΝΩΝ ΕΞ ΟΔΟΥ ΙΣΑΝΙΛΩΝ ΣΙΔΕΡΩΝ}}$$

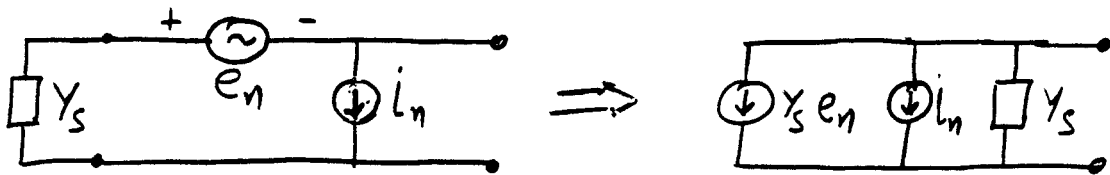
Ισοδύναμο δίκτυο



$$N_{in} = \frac{i_{s,rms}^2}{4 G_s} = \text{μεγιστή διασείξιμη ισχύς}$$

$$G_s = \text{Re}(Y_s)$$

Εσωτερικές πηγές μόνου:



$$\Delta N = G \cdot \frac{|I_n + Y_s e_n|^2}{4 G_s}$$

Άρα, ο δείκτης θορύβου γίνεται: (είναι όλες rms τιμές)

$$F_n = 1 + \frac{G \cdot |I_n + Y_s e_n|^2 / 4 G_s}{G \cdot |I_s|^2 / 4 G_s} = 1 + \frac{|I_n + Y_s e_n|^2}{|I_s|^2}$$

Θέτουμε  $I_n = Y_{cor} \cdot e_n + I_u$  και  $I_u \cdot e_n = 0$  λόγω ανεξαρτησίας:

$$|I_n + Y_s e_n|^2 = |I_u|^2 + \{Y_s^2 + Y_{cor}^2 + 2 Y_s Y_{cor}\} |e_n|^2 = |I_u|^2 + |Y_s + Y_{cor}|^2 |e_n|^2$$

Θέτουμε  $Y_s = G_s + j B_s$ ,  $Y_{cor} = G_{cor} + j B_{cor}$  και

$$|e_{n,rms}|^2 = 4 k T B \cdot R_n, \quad |I_{u,rms}|^2 = 4 k T B \cdot G_u, \quad |I_{s,rms}|^2 = 4 k T B \cdot G_s$$

Παίρνουμε:

$$F_n = 1 + \frac{|I_{u,rms}|^2}{|I_{s,rms}|^2} + \frac{\{(G_s + G_{cor})^2 + (B_s + B_{cor})^2\} |e_{n,rms}|^2}{|I_{s,rms}|^2}$$

Άρα:

$$F_n = 1 + \frac{G_u}{G_s} + \frac{R_n}{G_s} \{ (G_s + G_{cor})^2 + (B_s + B_{cor})^2 \}$$

Βέλτιστος = Ελάχιστος Δείκτης Θορύβου:

Από την συσχέτιση  $F_n$  και εσωτερικών πηγών θορύβου:  $e_n, i_n$

$$F_n = 1 + \frac{G_u}{G_s} + \frac{R_n}{G_s} \cdot \left\{ (G_s + G_{cor})^2 + (B_s + B_{cor})^2 \right\} \quad (1)$$

Όπου  $Y_s = G_s + j B_s$  = συνδυαστική αγωγιμότητα πηγής στην είσοδο  
Εναλλακτικά, με την συνδυαστική αντίσταση πηγής  $Z_s = R_s + j X_s$

$$F_n = 1 + \frac{R_u}{R_s} + \frac{G_n}{R_s} \left\{ (R_s + R_{cor})^2 + (X_s + X_{cor})^2 \right\} \quad (2)$$

Υπάρχει κάποια βέλτιστη συνδυαστική αγωγιμότητα ( $Y_s$ ) ή  
αντίσταση ( $Z_s$ ) πηγής για την οποία ο δείκτης θορύβου  
 $F_n$  ελαχιστοποιείται;

Ελαχιστοποίηση (μινιμάλος παραγωγών)  $i_n$   $(1)$  ως προς  $G_s, B_s$   
ή  $i_n$   $(2)$  ως προς  $R_s, X_s$  δίνει:

Βέλτιστη συνδυαστική αντίσταση πηγής  $Z_s = Z_{on} = R_{on} + j X_{on}$

$$R_{on} = \sqrt{\frac{R_n}{G_n} + R_{cor}^2} \quad \text{και} \quad X_{on} = -X_{cor}$$

και ελάχιστο δείκτη θορύβου:

$$F_{min} = F_n \Big|_{R_s=R_{on}, X_s=X_{on}} = 1 + 2G_n R_{cor} + 2\sqrt{R_u G_n + (G_n R_{cor})^2} \quad (3)$$

**ΠΡΟΣΟΧΗ!** Ο ελάχιστος δείκτης θορύβου ΔΕΝ  
προκύπτει από την συνθήκη συζυγούς προσαρμογής  
Ακόμη η  $X_s = X_{on} = -X_{cor}$  ελαχιστοποιεί το θόρυβο από τις δύο  
πηγές  $e_n$  και  $i_n$ . Αφού το ρεύμα  $Y_s e_n$  αποκτά  $180^\circ$  διαφ. φάσης ως προς  $i_n$

Αντικαθιστώντας την  $(3)$  στην  $(2)$  παίρνουμε:

$$F_n = F_{min} + \frac{G_n}{R_s} |Z_s - Z_{on}|^2$$

Εναλλακτικά από την  $(1)$ :

$$F_n = F_{min} + \frac{R_n}{G_s} |Y_s - Y_{on}|^2$$

Βέλτιστος Συντελεστής Ανακλάσεως Πηγής  $\rightarrow F_n = F_{min}$

Προκύπτει για  $Z_s = Z_{on}$  ή  $Y_s = Y_{on} \Rightarrow \Gamma_s = \Gamma_{on} = \Gamma_{opt}$ .

Είναι:  $\Gamma_{on} = \Gamma_{opt} = \frac{Z_{on} - Z_0}{Z_{on} + Z_0} = \frac{Y_0 - Y_{on}}{Y_0 + Y_{on}}$

Δείκτης θορύβου συνάρτηση του  $\Gamma_{on}$ , οπω  $r_n = R_n / Z_0$

$$F_n = F_{min} + \frac{4 r_n |\Gamma_s - \Gamma_{on}|^2}{(1 - |\Gamma_s|^2) \cdot |1 + \Gamma_{on}|^2} \quad \leftarrow \textcircled{a}$$

Όπου:  $\Gamma_s = \frac{Z_s - Z_0}{Z_s + Z_0}$  ↓ Απόδειξη: Pozar σελ. 628

Η μέτρηση του δείκτη θορύβου υπό συνθήκες προσαρμογής χωρίς ανακλάσεις στην είσοδο  $Z_s = Z_0$  είναι χρήσιμη στον προσδιορισμό της συνδέσιμης μεταβί αντιστάσεως θορύβου  $r_n = R_n / Z_0$  και βέλτιστων δείκτη θορύβου  $\Gamma_{on}$ :

$Z_s = Z_0 = 50 \Omega \rightarrow \Gamma_s = 0$

και  $F_{50} = F_n \Big|_{\Gamma_s=0} = F_{min} + \frac{4 r_n |\Gamma_{on}|^2}{|1 + \Gamma_{on}|^2}$

Άρα:

$$r_n = (F_{50} - F_{min}) \frac{|1 + \Gamma_{on}|^2}{4 |\Gamma_{on}|^2}$$

Συμπερασματικά: για τον χαρακτηρισμό ενός διόδου ως προς τον θόρυβο πρέπει να είναι γνωστά:  $F_{min}$ ,  $r_n = \frac{R_n}{50}$ ,  $\Gamma_{on}$ . Οι παράμετροι αυτές δίνονται από μετρήσεις (κατασκευαστής).

**ΕΛΑΧΙΣΤΟΣ ΔΕΙΚΤΗΣ ΘΟΡΥΒΟΥ N-ομοίων ΒΑΘΜΙΔΩΝ**

$F_i = F_{min} \rightarrow$  Υπόθεση βέλτιστων σχεδιασμού όλων των βαθμίδων, δηλαδή  $\Gamma_{si} = \Gamma_{on}$  (δύσκολα επιτυγχάνεται) και  $G_i = G_a$

$$F_{oL} = 1 + (F_{min} - 1) + \frac{F_{min} - 1}{G_a} + \frac{F_{min} - 1}{G_a^2} + \dots = 1 + (F_{min} - 1) \left( 1 + \frac{1}{G_a} + \frac{1}{G_a^2} + \dots \right)$$

"Άπειρες" βαθμίδες }  $F_{oL} - 1 = \frac{F_{min} - 1}{1 - 1/G_a} = M_{min} =$  Ελάχιστο Μέτρο Θορύβου.

Κύκλοι Σταθερού Δείκτη Θορύβου  $F_n = \sigma_{\text{ταθ}}$ .

Από την έκφραση για τον δείκτη θορύβου πολλαπλών βαθμίδων  

$$F_S = F_{\text{α}} = F_1 + \frac{F_2 - 1}{G_1} + \frac{F_3 - 1}{G_1 G_2} + \dots$$

Παρατηρεί κανείς ότι ο ολικός δείκτης θορύβου  $F_{\text{α}} = F_{\text{system}}$  καθορίζεται κυρίως από την πρώτη βαθμίδα. Ο  $F_{\text{α}}$  θα γίνει ελάχιστος αν ο  $F_1$  ελαχιστοποιηθεί ενώ ταυτόχρονα το κέρδος  $G_1$  παραμείνει μέγιστο. Αυτές όμως οι δύο απαιτήσεις δεν μπορούν να επιτευχθούν ταυτόχρονα αφού:

- Ελάχιστο ποινόν  $F_1 \leftrightarrow F_1 = F_{\text{min}}$  απαιτεί  $\Gamma_S = \Gamma_{\text{on}} = \text{προσαρμογή θορύβου}$
- Μέγιστο ποινόν  $G_1$  απαιτεί σύμφωνη προσαρμογή εισόδου  $\Gamma_S = \Gamma_{\text{in}}^*$   
 και 
$$\Gamma_{\text{in}} = S_{11} + \frac{S_{12} S_{21} \Gamma_L}{1 - S_{22} \Gamma_L}$$

Απαιτείται έτσι ένας συμβιβασμός των δύο απαιτήσεων. Αυτό γίνεται σχεδιάζοντας τους:

Κύκλους σταθερού δείκτη θορύβου  $F_n = \sigma_{\text{ταθ}}$ .

Κύκλους σταθερού κέρδους  $G = \sigma_{\text{ταθ}}$ .

και επιλέγοντας μια συμβιβαστική λύση για το  $\Gamma_S$

Κύκλοι σταθερού δείκτη θορύβου:  $F_n = F_i = \sigma_{\text{ταθ}}$ .

Ορίζεται η παράμετρος δείκτη θορύβου  $N_i$  σαν:

$$N_i = \frac{| \Gamma_S - \Gamma_{\text{on}} |^2}{1 - | \Gamma_S |^2} = \frac{F_i - F_{\text{min}}}{4 \Gamma_n} | 1 + \Gamma_{\text{on}} |^2 \quad (\beta)$$

Ροζαρ Γκ. 628 }  
 Λιαο Γκ. 117 }  $\xrightarrow{\text{επίθεση } \textcircled{\alpha}}$

$$\left| \Gamma_S - \frac{\Gamma_{\text{on}}}{N_i + 1} \right|^2 = \frac{N_i^2 + N_i (1 - | \Gamma_{\text{on}} |^2)}{(N_i + 1)^2}$$

Οι κοχλίες κίτρινες:   
 Κέντρο:  $C_{F_i} = \frac{\Gamma_{\text{on}}}{N_i + 1}$    
 Ακτίνα:  $r_{F_i} = \frac{\sqrt{N_i^2 + N_i (1 - | \Gamma_{\text{on}} |^2)}}{N_i + 1}$

Κέντρο:  $C_{F_i}$    
 Ακτίνα:  $r_{F_i}$

Παρατηρούμε:  
 Δεξιο μέγος  $\textcircled{\beta}$   $F_i \rightarrow N_i$   
 $N_i = 0 \rightarrow \begin{cases} \Gamma_S = \Gamma_{\text{on}} \\ F_i = F_{\text{min}} \end{cases}$

Επιλέγουμε  $\Gamma_S$  σε κάποιο κίτριο δίνει  $F_n = F_i$  για τον κύκλο αυτό

Παράδειγμα κύκλων  $F_n = 6 \text{ dB}$ . (από Liao σελ. 117-118)

Τρανζίστορ: GaAs MESFET

Επιλογή  $\Gamma_S$  πάνω  
 στους κύκλους  
 $F_n = 6 \text{ dB}$ .

Αν:  
 $\Gamma_S = \Gamma_{opt}$   
 $\Downarrow$   
 $F_n = F_{min}$

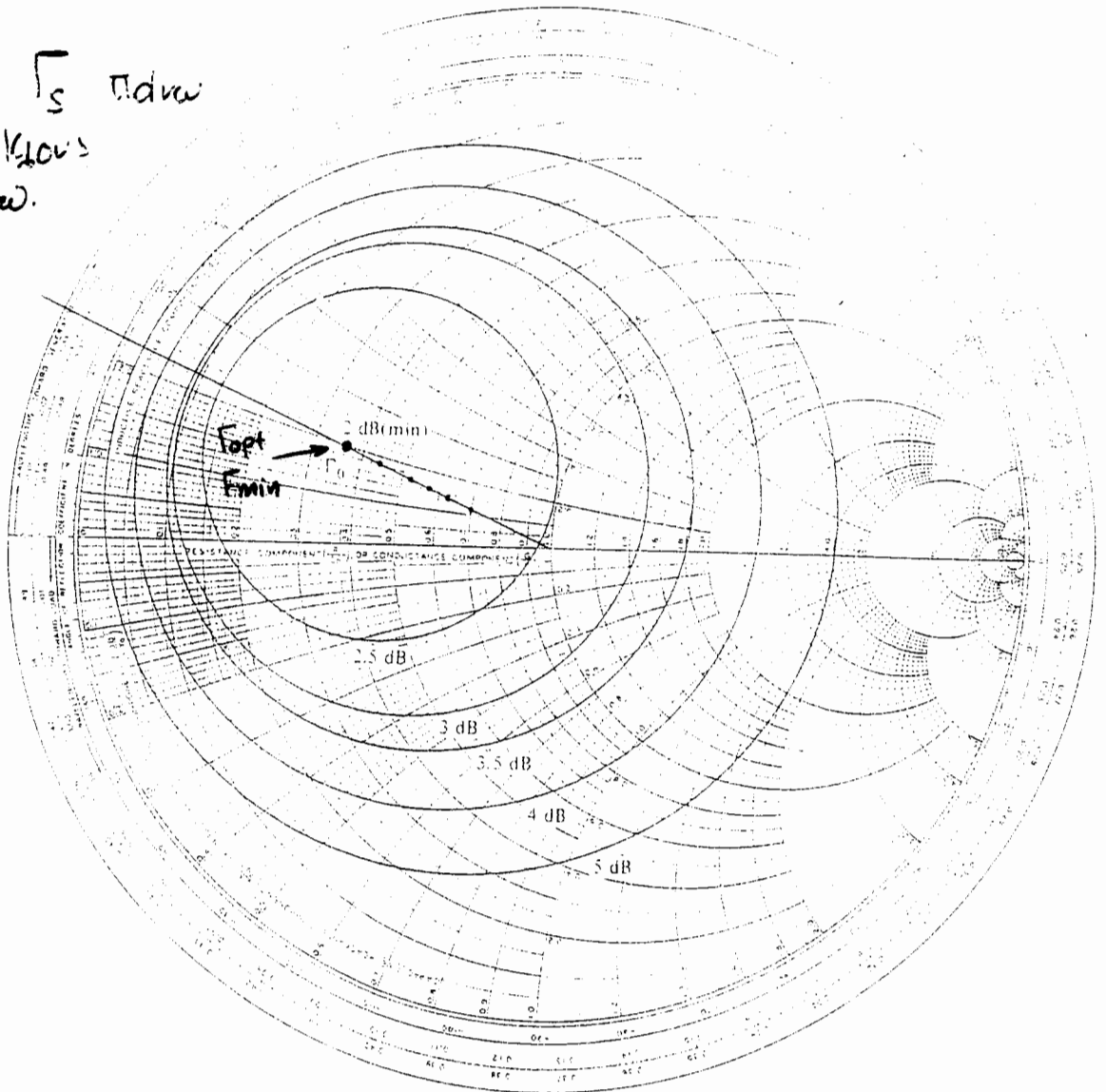


Figure 3-8-1 Noise-figure circles for Example 3-8-1. (Liao)

Δεδομένα:  $V_{ds} = 5 \text{ V}$ ,  $I_{ds} = 20 \text{ mA}$ ,  $Z_0 = 50 \Omega$ ,  $f = 9 \text{ GHz}$

Μετρήσεις θορύβου  $\left\{ \begin{array}{l} F_{min} = 2 \text{ dB}, \Gamma_{on} = \Gamma_{opt} = 0.485 \angle 155^\circ \\ R_n = 4 \Omega \end{array} \right.$

Τα κέντρα των κύκλων  $F_n = 6 \text{ dB}$  κείτονται πάνω στην ευθεία που ενώνει το κέντρο του χαρτί Smith (0,0) με το σημείο  $\Gamma_{opt}$

Παράδειγμα: Σχεδιασμός ενισχυτή χαμηλού θορύβου  
(Pozar βιβλ. 629)

Δεδομένα: GaAs FET,  $f = 4 \text{ GHz}$ ,  $Z_0 = 50 \Omega$   
d.c. πόλωση  $\rightarrow$  για ελάχιστο δείκτη θορύβου

$$S_{11} = 0.6 \angle -60^\circ, S_{21} = 1.9 \angle 81^\circ, S_{12} = 0.05 \angle 26^\circ, S_{22} = 0.5 \angle -60^\circ$$

$$F_{\min} = 1.6 \text{ dB}, \Gamma_{\text{opt}} = 0.62 \angle 100^\circ, R_n = 20 \Omega$$

Σκοπός: Σχεδιασμός για  $F_n = 2 \text{ dB}$  και μέγιστο δυνατό κέρδος

1) Χρησιμοποιείται η μονόπλευρη (unilateral) προσέγγιση  $S_{12} \approx 0$

σφάλμα:  $\frac{1}{(1+M)^2} < \frac{G_t}{G_{t\max}} < \frac{1}{(1-M)^2} \Leftrightarrow -0.5 \text{ dB} < \frac{G_t}{G_{t\max}} < 0.53 \text{ dB}$

σφάλμα  $\pm 0.5 \text{ dB}$  απροσδιοριστία κέρδους

2) Σχεδιασμός κύκλου θορύβου για  $F_i = 2 \text{ dB} = 1.58$

$$N_i = \frac{F_i - F_{\min}}{4 R_n / Z_0} = 0.0986 \text{ και } \Gamma_{F_i} = 0.56 \angle 100^\circ, \nu_{F_i} = 0.24$$

3) Σχεδιασμός κύκλων σταθερού κέρδους-εξόδου (πηγής)  $g_s = \text{const.}$

μονόπλευρη περίπτωση:  $g_s = \frac{1 - |\Gamma_S|^2}{|1 - S_{11} \Gamma_S|^2} = \text{const.}$   
έστω  $g_s = 1.0, 1.5, 1.7 \text{ dB}$

4) Επιλογή του  $\Gamma_S$ : στο σημείο τομής των κύκλων:

$$F_i = 2 \text{ dB και } g_s = 1.7 \text{ dB} \Rightarrow \Gamma_S = 0.53 \angle 75^\circ$$

5) Επιλογή του συντελεστή ανάκλασης φορτίου  $\Gamma_L$

επιλογή σύμφωνης προσαρμογής εξόδου  $\Gamma_L = S_{22}^* = 0.5 \angle +60^\circ$

για την μεγιστοποίηση του κέρδους εξόδου  $g_L$

6) Κέρδος εξόδου:  $g_L = \frac{1 - |\Gamma_L|^2}{|1 - S_{22} \Gamma_L|^2} \Big|_{\Gamma_L = S_{22}^*} = \frac{1}{1 - |S_{22}|^2} = 1.33 = 1.25 \text{ dB}$

7) Ολικό κέρδος ενισχυτή

$$G_{tu} = g_s \cdot G_0 \cdot g_L \Rightarrow G_{tu} (\text{dB}) = g_s (\text{dB}) + G_0 (\text{dB}) + g_L (\text{dB}) =$$

κέρδος τρανζίσταρ.

$$= 8.53 \text{ dB}$$

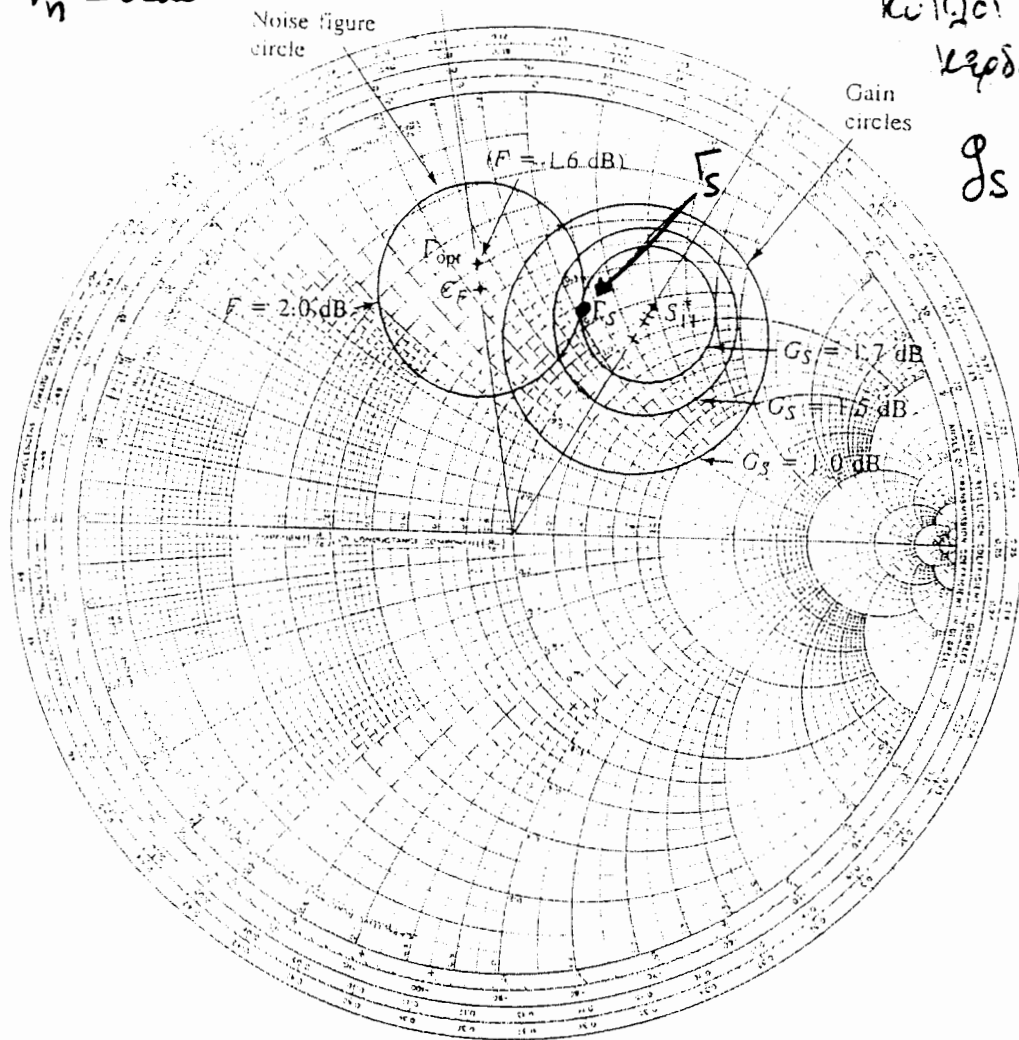
$$G_0 = |S_{21}|^2 = 3.61 = 5.58 \text{ dB}$$

Σχεδιασμός Ενισχυτή Χαμηλού θορύβου:

Κύκλοι:  $F_n = 6 \text{ dB}$

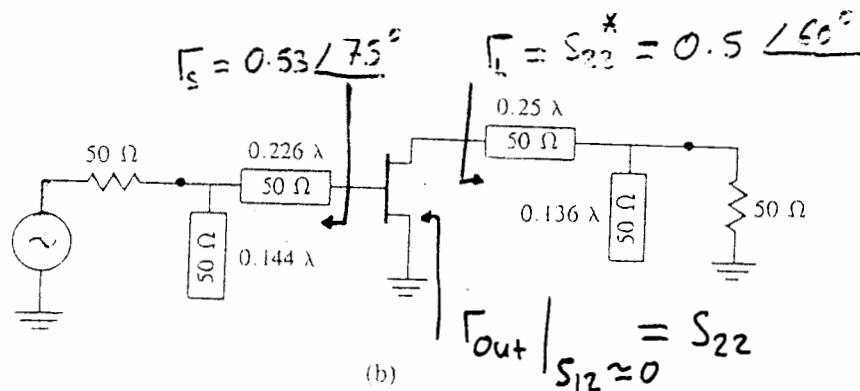
Κύκλοι σταθμάς κέρδους:  $G_s = 6 \text{ dB}$

$G_s = 6 \text{ dB}$



(a)

Τοπολογία Ενισχυτή Χαμηλού θορύβου:  
(μόνο πλάσμα απόβλεψη  $S_{21} \approx 0$ )



(b)

FIGURE 11.30

Circuit design for the transistor amplifier of Example 11.8. (a) Constant gain and noise figure circles. (b) RF circuit.

Ροζάνη  
621.62

## ΣΧΕΔΙΑΣΜΟΣ ΕΝΙΣΧΥΤΗ ΧΑΜΗΛΟΥ ΘΟΡΥΒΟΥ ΣΤΕΥΝΣ ΣΩΜΑ

1. Προδιαγραφές: (Βαρέ  $\beta$  Bhatta  $\epsilon_{1.50}$ )  
 Συχνότητα  $f = 12 \text{ GHz}$ , Εύρος σήματος  $BW \approx 5\% = \frac{f_2 - f_1}{f_0}$   
 Κέρδος  $G = 8 \text{ dB}$

Δείκτης θορύβου:  $F_n \leq 2.5 \text{ dB}$

Λογος σταθίων κυμάτων Εξόδου:  $1.2 : 1 = V_{SWR} \Big|_{out} = \frac{1 + |\Gamma_{out}|}{1 - |\Gamma_{out}|}$

2. Επιλογή ενεργού στοιχείου  $\rightarrow$  GaAs FET,  $f = 12 \text{ GHz}$

$$S_{11} = 0.77 \angle -122^\circ, S_{12} = 0.07 \angle 40^\circ, S_{21} = 1.36 \angle 98^\circ, S_{22} = 0.67 \angle -32^\circ$$

$$F_{min} = 2.11 \text{ dB}, \Gamma_{opt} = 0.55 \angle 118^\circ, R_n = 13.1 \Omega$$

δε. ποιων για χαμηλό θόρυβο  $V_{DS} = 3V, I_{DS} = 10 \text{ mA}$

3. Υπολογισμός του συντελεστή ευστάθειας  $K$

$$K = 1.1 > 1 \rightarrow \text{Ευστάθεια χωρίς όρους}$$

{ Το συγκεκριμένο τρανζίστορ παρουσιάζει  $K < 1$  για  $f < 11 \text{ GHz}$   
 και στη περιοχή αυτή πρέπει να σχεδιαστούν οι κύκλοι ευστάθειας.

4. Επιλογή βελτιστών συντελεστών ανάκλασης πηγής

$$\Gamma_S = \Gamma_{opt} = 0.55 \angle 118^\circ \xrightarrow[\text{Smith}]{\text{χαρτών}} Z_S = Z_0 \frac{1 + \Gamma_S}{1 - \Gamma_S} = 19.1 + j 26.8 \Omega$$

$\rightarrow$  Επιτεύχτη ελάχιστη δείκτη θορύβου  $F_n = F_{min} = 2.11 \text{ dB}$

5. Επιλογή συντελεστών ανάκλασης φορτίου  $\Gamma_L =$

Ο σχεδιασμός αυτός στοχεύει σε προσαρμογή χωρίς ανακρίβειες στην έξοδο, δηλαδή χαμηλό  $V_{SWR}_{out}$ .

$$\Gamma_{out} = S_{22} + \frac{S_{12} S_{21} \Gamma_S}{1 - S_{11} \Gamma_S} \Big|_{\Gamma_S = \Gamma_{opt}}$$

$$\text{Επιλογή } \Gamma_L = \Gamma_{out}^* \rightarrow Z_L = 63.9 + j 107.6 \Omega$$

6. Προβλεψίωση  $\rightarrow$  Σχεδιασμός δικτύων προσαρμογής

(Μερίστε δυνατό κέρδος  $MSG = 11.1 \text{ dB} \rightarrow$  από τεχνικά στοιχεία)



ΕΝΙΣΧΥΤΗΣ ΧΑΜΗΛΟΥ ΘΟΡΥΒΟΥ

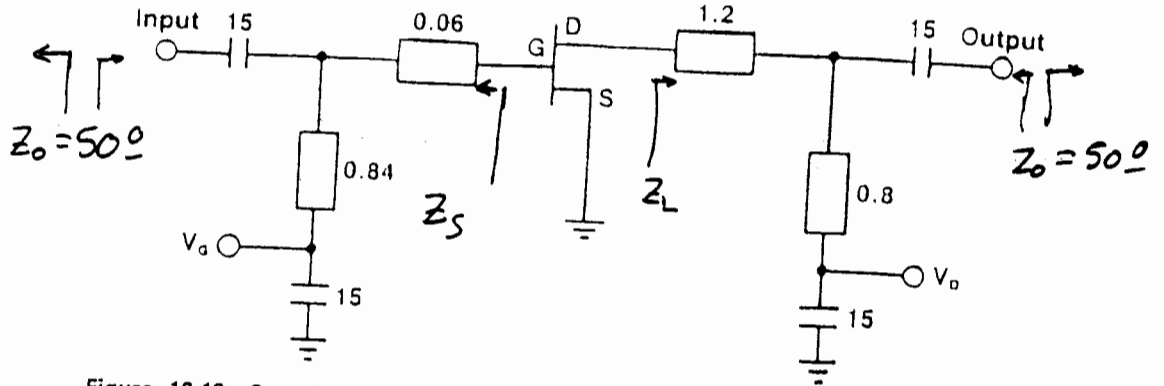


Figure 10.12 Complete amplifier schematic. Microstrip lines width is 0.11 mm. All dimensions are in millimeters. Capacitances are in picofarads.

Υπόθετα Αλουμινίου  $\epsilon_r = 9.9$  πάχους  $h = 0.25 \text{ mm}$

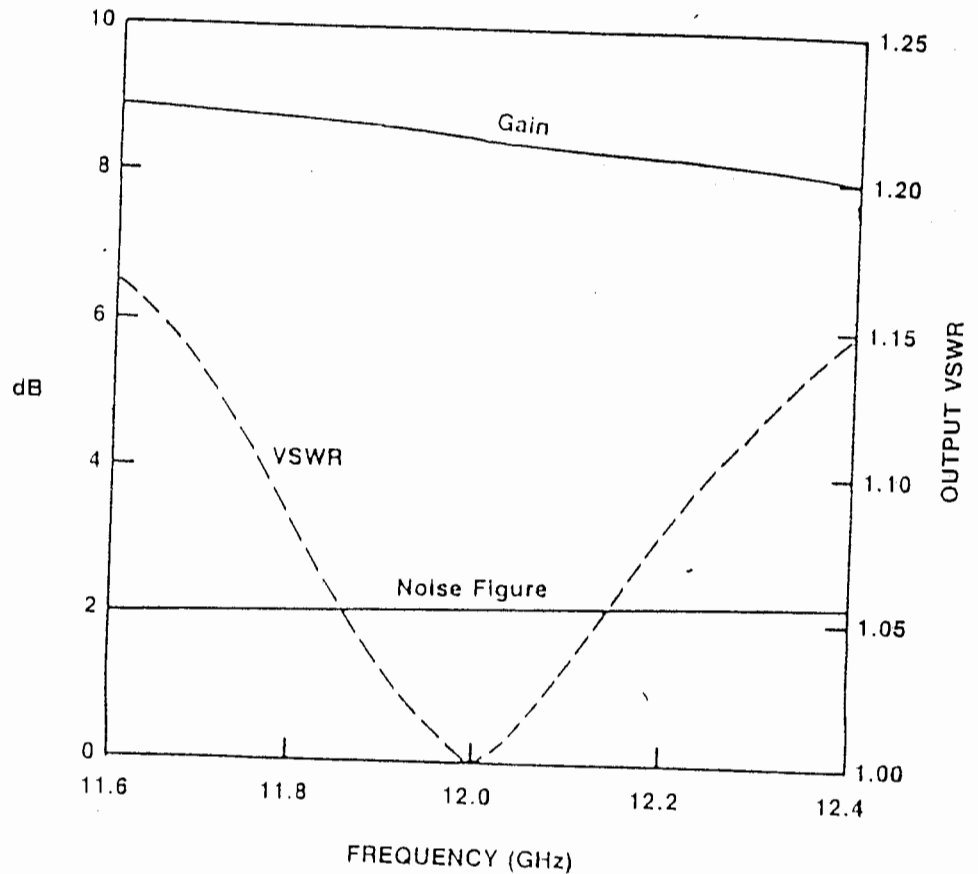
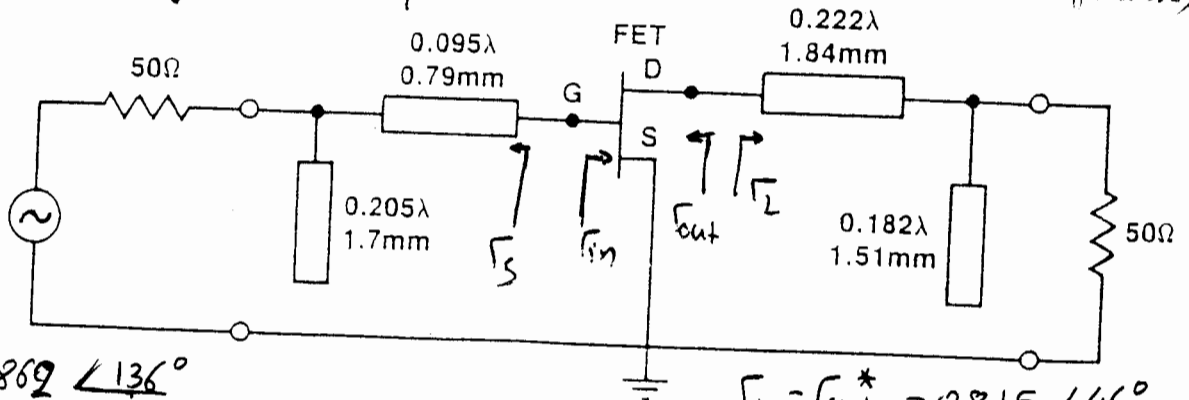


Figure 10.13 Calculated response of a low-noise amplifier.

Ενίσχυσης Μέγιστου Κέρδους: (Γραμμές από τη Παρατήρηση)



$\Gamma_S = \Gamma_{in}^* = 0.869 \angle 136^\circ$

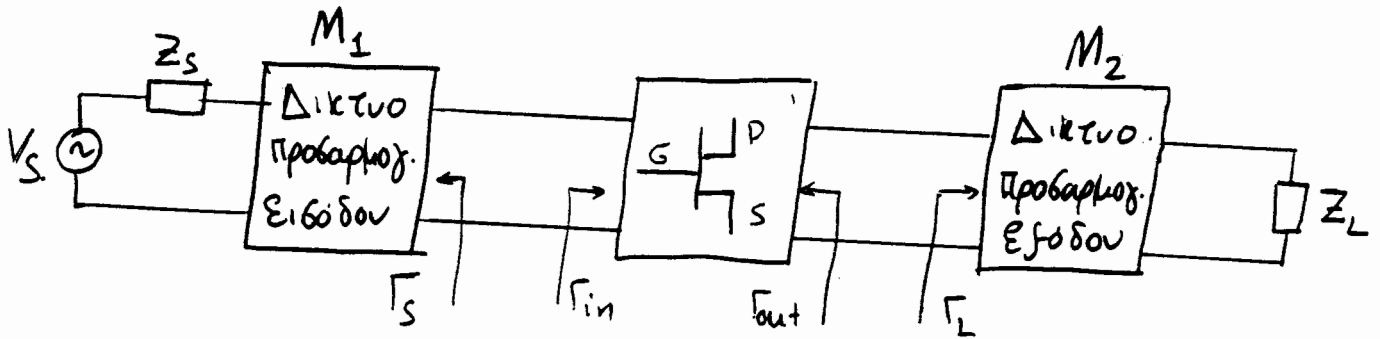
$\Gamma_L = \Gamma_{out}^* = 0.815 \angle 46^\circ$

Figure 10.14 Amplifier schematic. Microstrip width is 0.24 mm and  $\lambda = 8.28 \text{ mm}$  at 14 GHz.

Βλ. παρατήρηση

$F = 1.96 \text{ dB}$ ,  $G = 8.5 \text{ dB}$

ΣΧΕΔΙΑΣΜΟΣ ΕΥΙΣΧΥΣΕΩΝ ΧΑΜΗΛΟΥ ΘΟΡΥΒΟΥ  
 3 - Δυνατότητες (Vedelin Γλ. 230-231)



Δεδομένα: S-παραμέτρων τρανζίστορ

$\Gamma_{min}$ ,  $R_n$ ,  $\Gamma_{opt} = \Gamma_{opt}$

Απαιτήσεις:

- α) Ελάχιστος δείκτης θορύβου
- β) Μέγιστο κέρδος ή μέγιστη ισχύς εξόδου

① ΣΧΕΔΙΑΣΜΟΣ χαμηλού θορύβου και μέγιστης μεταφοράς ισχύος στην είσοδο (Η συννδεδεμένη τεχνική)

α) ΣΧΕΔΙΑΣΜΟΣ του  $M_1$  για  $\Gamma_s = \Gamma_{opt} \leftrightarrow$  χαμηλός θορύβος  $F_n = F_{min}$

β) ΣΧΕΔΙΑΣΜΟΣ του  $M_2$  για:

$$\Gamma_L = \Gamma_{out}^* = \left( S_{22} + \frac{S_{12} S_{21} \Gamma_{opt}}{1 - S_{11} \Gamma_{opt}} \right)^*$$
 Συζυγής προσαρμογή εξόδου

μειονέκτημα: αυθαίρετος  $\leftrightarrow$  ίσως υψηλός λόγος VSWR στην είσοδο

② ΣΧΕΔΙΑΣΜΟΣ χαμηλού θορύβου και μέγιστης μεταφοράς ισχύος στην είσοδο (μειονέκτημα: υψηλό VSWR<sub>out</sub>)

1) ΣΧΕΔΙΑΣΜΟΣ του  $M_1$  για  $\Gamma_s = \Gamma_{opt} \leftrightarrow$  χαμηλός θορύβος  $F_n = F_{min}$

2) ΣΧΕΔΙΑΣΜΟΣ του  $M_2$  για

$$\Gamma_{in} = \Gamma_{opt}^* = S_{11} + \frac{S_{12} S_{21} \Gamma_L}{1 - S_{22} \Gamma_L} \Rightarrow \Gamma_L = \frac{S_{11} + \Gamma_{opt}^*}{\Delta - S_{22} \Gamma_{opt}^*}$$

$\hookrightarrow$  Συζυγής προσαρμογή στην είσοδο

3) Συμβιβασμός των λύσεων ① και ② για περίπου ίδια στάθμη VSWR<sub>in</sub>, VSWR<sub>out</sub> με μια σχετική χειροτέρευση του  $F_n$